
ОПТИЧЕСКИЕ И ОПТИКО-ЭЛЕКТРОННЫЕ ПРИБОРЫ И СИСТЕМЫ

УДК 535.317

А. Л. СУШКОВ

ИСПРАВЛЕНИЕ СФЕРИЧЕСКОЙ АБЕРРАЦИИ И ХРОМАТИЗМА В СИНГЛЕТЕ И ДУБЛЕТЕ ВВЕДЕНИЕМ ОСЕВОГО ГРАДИЕНТА ПОКАЗАТЕЛЯ ПРЕЛОМЛЕНИЯ

Рассмотрены теоретические модели исправления сферической и сферохроматической aberrаций в одиночной линзе и дублете при наличии в линзах осевой неоднородности показателя преломления. Показано, что в одиночной линзе хроматизм можно устранить при аномальном ходе дисперсии градиента показателя преломления. В дублете исправление хроматизма возможно как при нормальном, так и аномальном ходе дисперсии градиента.

Ключевые слова: линза, дублет, хроматизм положения, сферохроматизм, неоднородность показателя преломления, дисперсия градиента показателя преломления.

Анализ возможности исправления сферической aberrации третьего порядка и хроматической первой в одиночной линзе (синглете) и блоке из двух склеенных линз (дублете) будем рассматривать при задании распределения показателя преломления (ПП) зависимостью:

$$n(z) = n_0(\lambda) + n_{01}(\lambda)z + n_{02}(\lambda)z^2, \quad (1)$$

где $n_0(\lambda)$ — показатель преломления в исходной точке; $n_{01}(\lambda)$, $n_{02}(\lambda)$ — aberrационные коэффициенты. Оптическая ось совпадает с осью Z системы координат $OXYZ$, привязанной к входной поверхности линзы.

Сферическая aberrация. Известно [1] выражение для коэффициента сферической aberrации S_1 :

$$\bar{S}_1 = \bar{S}_{1H} + \bar{S}_{1G} + \tilde{S}_1, \quad (2)$$

где \bar{S}_{1H} , \bar{S}_{1G} — однородно-поверхностная и неоднородно-поверхностная составляющие, \tilde{S}_1 — вклад переноса.

Составляющие \bar{S}_{1H} , \bar{S}_{1G} вычисляются при суммировании по поверхностям, согласно формулам:

$$\bar{S}_{1H} = \sum hP, \quad P = \left(\frac{\delta\alpha}{\delta\mu} \right)^2 \delta(\alpha\mu) \quad \bar{S}_{1G} = \sum \frac{\delta(n_{01} + 2n_{02}t)}{r^2} h^4, \quad (3)$$

где $\delta\alpha = \alpha_{k+1} - \alpha_k$, $\delta\mu = \mu_{k+1} - \mu_k$, t — глубина зоны неоднородного ПП, составляющей не менее величины стрелки прогиба поверхности, в область которой вводится градиент ПП; $\mu = 1/n$, α — угол с оптической осью первого вспомогательного луча; h , r — высота луча и радиус кривизны оптической поверхности. Условия нормировки осевого луча: $\alpha_1 = 0$, $h_1 = f'$, $\alpha'_p = 1$.

Для упрощения анализа будем считать распределение показателя преломления линейной функцией от z ($n_{02}=0$).

Очевидно, чтобы исправить сферическую абберацию, не принимая во внимание составляющую вклада переноса, должно выполняться условие:

$$\sum hP = -\sum \frac{\delta n_{01}}{r^2} h^4.$$

Сферическую абберацию в одиночной линзе или дублете можно исправить за счет введения неоднородности ПП в одной или обеих линзах.

При последовательном расположении в блоке *однородной и градиентной сред (H-G)*, разделенных поверхностью с радиусом кривизны r , имеем:

$$\bar{S}_{1H} = -\frac{n_{01}}{r^2} h^4,$$

откуда

$$n_{01} = -\bar{S}_{1H} \frac{r^2}{h^4}. \quad (4)$$

При переходе луча из *градиентной среды в однородную (H-G)* имеем:

$$\bar{S}_{1H} = \frac{n_{01}}{r^2} h^4 \text{ и } n_{01} = \bar{S}_{1H} \frac{r^2}{h^4}. \quad (5)$$

Таким образом, по величине коэффициента S_1 исходной однородной системы, рассчитанной с помощью программ анализа аббераций третьего порядка, например OPAL-PC, используя формулу (4) или (5), получим исходное значение коэффициента n_{01} линейного распределения ПП, которое в дальнейшем уточняется путем экстраполяции по результатам расчета через градиентную оптическую систему реальных лучей. Следует обратить внимание на то, что коэффициенты n_{01} в формулах (4) и (5) определяют необходимую величину показателя преломления n лишь на границе однородной и неоднородной сред. Данный подход исправления сферической абберации можно распространить и на более сложные конструкции оптических систем.

Хроматизм положения одиночной линзы. Известно [2] выражение для хроматической абберации положения *однородной* оптической системы, включающей p поверхностей:

$$ds'_p = \frac{1}{n'_p \alpha'_p{}^2} \sum_{k=1}^p h_k \left(\frac{\delta \alpha}{\delta \left(\frac{1}{n} \right)} \right)_k \delta \left(\frac{dn}{n} \right)_k, \quad (6)$$

где k — текущий номер поверхности.

При

$$\bar{C}_k = \left(\frac{\delta \alpha}{\delta \left(\frac{1}{n} \right)} \right)_k \delta \left(\frac{dn}{n} \right)_k \quad (7)$$

коэффициент хроматической абберации положения S_{1xp} обычно записывают как

$$S_{1xp} = \sum_{k=1}^p h_k \bar{C}_k. \quad (8)$$

Тогда (6) будет иметь вид:

$$ds'_p = \frac{1}{n'_p \alpha'_p{}^2} S_{1xp}. \quad (9)$$

Для линзы конечной толщины в воздухе можно записать

$$ds'_p = \frac{1}{\alpha_3^2} (h_1 C_1 + h_2 C_2). \quad (10)$$

Согласно принятому обозначению $\mu = \frac{1}{n}$, с учетом известной зависимости $\frac{dn}{n} = \frac{1-\mu}{v_{00}}$

будем иметь:

$$C_1 = \left(\frac{\alpha_2 - \alpha_1}{\mu_2 - \mu_1} \right) \left(\frac{dn_2}{n_2} - \frac{dn_1}{n_1} \right) = -(\alpha_2 - \alpha_1) \frac{dn_1}{n_1 - 1} = -\frac{\alpha_2 - \alpha_1}{v_1}, \quad (11)$$

$$C_2 = \left(\frac{\alpha_3 - \alpha_2}{\mu_3 - \mu_2} \right) \left(\frac{dn_3}{n_3} - \frac{dn_2}{n_2} \right) = -(\alpha_3 - \alpha_2) \frac{dn_2}{n_2 - 1} = -\frac{\alpha_3 - \alpha_2}{v_2},$$

где $dn_1 = (n_{\lambda_1} - n_{\lambda_2})_1$ — средняя дисперсия на поверхности линзы 1; $dn_2 = (n_{\lambda_1} - n_{\lambda_2})_2$ — средняя дисперсия на поверхности линзы 2, v_1, v_2 — коэффициенты дисперсии на поверхностях линзы.

С учетом известных соотношений $h_1 = \alpha_1 S_1$ и $h_2 = h_1 - \alpha_2 d = \alpha_1 s_1 - \alpha_2 d$ получим

$$ds'_p = -\frac{1}{\alpha_3^2} \left(h_1 \frac{\alpha_2 - \alpha_1}{v_1} + h_2 \frac{\alpha_3 - \alpha_2}{v_2} \right) = -\frac{1}{\alpha_3^2} \left(h_1 \frac{\alpha_2 - \alpha_1}{v_1} + (h_1 - \alpha_2 d) \frac{\alpha_3 - \alpha_2}{v_2} \right). \quad (12)$$

После преобразований будем иметь

$$\Delta s'_p = -\frac{1}{\alpha_3^2} \left\{ h_1 \left[\frac{\alpha_2 - \alpha_1}{v_1} + \frac{\alpha_3 - \alpha_2}{v_2} \right] - \frac{\alpha_2}{v_2} d (\alpha_3 - \alpha_2) \right\}. \quad (13)$$

Если ввести обозначения

$$\Phi_{1пов} = \frac{\alpha_2 - \alpha_1}{h_1}, \quad \Phi_{2пов} = \frac{\alpha_3 - \alpha_2}{h_2},$$

то получим

$$ds'_p = -\frac{1}{\alpha_3^2} \left(h_1 \left[\frac{1}{v_1} \Phi_{1пов} h_1 + h_2 \frac{1}{v_2} \Phi_{2пов} \right] - \frac{\alpha_2}{v_2} d \Phi_{2пов} h_2 \right). \quad (14)$$

В случае тонкой линзы $d \approx 0$ можно считать, что $h_1 = h_2$, и в окончательном виде хроматическая aberrация положения однородной тонкой линзы будет такова:

$$ds'_p = -\frac{1}{\alpha_3^2} h_1^2 \left(\frac{\Phi_{1пов}}{v_1} + \frac{\Phi_{2пов}}{v_2} \right). \quad (15)$$

Оптическая сила линзы Φ равна сумме оптических сил поверхностей $\Phi_{1пов}$ и $\Phi_{2пов}$, где

$$\Phi_{1пов} = \frac{n_0 - 1}{r_1}, \quad \Phi_{2пов} = \frac{1 - n_z}{r_2}. \quad (16)$$

Если ввести понятие „поверхностный коэффициент дисперсии $v_{пов}$ “, то из (15) и (16) получаем условие исправления хроматической aberrации положения в одиночной линзе с осевым градиентом:

$$\left(\frac{n_0 - 1}{v_{1пов} r_1} - \frac{n_z - 1}{v_{2пов} r_2} \right) = 0. \quad (17)$$

Из (17) получаем соотношение для радиусов кривизны поверхностей, чисел Аббе и показателей преломления в полярных точках поверхностей при исправленном хроматизме положения:

$$\frac{r_1}{r_2} = \frac{v_{2\text{пов}}(n_0 - 1)}{v_{1\text{пов}}(n_z - 1)}. \quad (18)$$

Анализ (18) показывает, что при известных параметрах градиентных сред исправление хроматизма положения возможно в довольно узком диапазоне радиусов кривизны поверхностей одного знака.

Для исправления хроматизма положения при известных параметрах исходной однородной линзы (15) получаем желаемую величину коэффициента дисперсии на поверхности 2 $v_{2\text{пов}}$ в полярной точке второй поверхности:

$$v_{2\text{пов}} = -\frac{v_{1\text{пов}}\Phi_{2\text{пов}}}{\Phi_{1\text{пов}}}. \quad (19)$$

При линейной зависимости распределения ПП можно получить выражение для коэффициента $v_{2\text{пов}}$:

$$v_{2\text{пов}} = \frac{(n_0 - 1 + \Delta n)v_1 v_{01}}{(n_0 - 1)v_{01} + \Delta n v_1}, \quad (20)$$

где Δn — перепад показателя преломления, v_{01} — коэффициент дисперсии градиентной среды:

$$v_{01} = \frac{n_{01\lambda 0}}{n_{01\lambda 1} - n_{01\lambda 2}}. \quad (21)$$

Приравняв (19) и (20), с учетом (16) и (21) получим выражение для числа Аббе среды v_{01} :

$$v_{01} = -\frac{(1 - n_z)\rho_2 \Delta n v_1}{(n_0 - 1)[(n_0 - 1)\rho_1 + (1 - n_z)\rho_2] + (n_0 - 1)\rho_1 \Delta n}, \quad (22)$$

где ρ_1, ρ_2 — кривизна поверхностей линзы; n_0, n_z — величины ПП в полярных точках первой и второй поверхностей.

Расчет по формуле (22) дал значение $v_{01} = -4,17$. Полученные формулы являются приближенными, их точность повышается с уменьшением толщины линзы.

Пример. Было выполнено моделирование в среде OPAL положительного мениска для определения возможности исправления сферической aberrации и хроматизма положения при градиенте ПП в области *второй поверхности*.

Расчитанная система имеет параметры: $r_1 = -355,0$; $d = 8$; Φ_6 ; $n_e = 1,607$; $n_{F'} = 1,6154$; $n_C = 1,59929$; $r_2 = -49,998$; $D_{зр} = 20$ мм; $\Delta z = 6,25$ мм; $n_{01e} = 0,033 \text{ мм}^{-1}$; $n_{01F'} = 0,030 \text{ мм}^{-1}$; $n_{01C} = 0,03526 \text{ мм}^{-1}$; $n_z = 1,66475$; $\Delta n = 0,05775$; $v_{01} = -6,27$; $v_1 = 37,67$; $v_{1\text{пов}} = 37,67$; $v_{2\text{пов}} = 96,3$.

Здесь Δz — смещение плоскости начала неоднородного ПП от начала предыдущей поверхности. Величина коэффициента n_{01e} рассчитана по формуле (5).

Зона градиентного показателя преломления в области поверхности 2 начинается на расстоянии $\Delta z = 6,25$ мм от входной поверхности. Уточнение коэффициента v_{01} , полученного по (22), привело к $v_{01} = -6,27$. Таким образом, получена отрицательная величина коэффициента дисперсии градиентной среды, из чего, согласно (21), следует $n_{01\lambda 1} < n_{01\lambda 2}$.

Анализ показал, что хроматизм положения в положительном мениске может быть исправлен GRIN-средой с отрицательным градиентным числом Аббе. Такой коэффициент получается при аномальном ходе дисперсии градиента ПП.

Результаты моделирования мениска в среде OPAL на исправление хроматизма положения и сферохроматизма приведены на рис. 1: *a* — ход лучей осевого пучка; *b, в* — графики продольной и поперечной сферических aberrаций при исправленном хроматизме положения

(б, $\nu_{01} = -6,27$) и сферохроматизме (ν , $\nu_{01} = -5,50$). Видно, что при $\nu_{01} = -6,27$ в мениске исправлена хроматическая aberrация положения, при $\nu_{01} = -5,50$ исправлена хроматическая разность сферических aberrаций на середине входного зрачка.

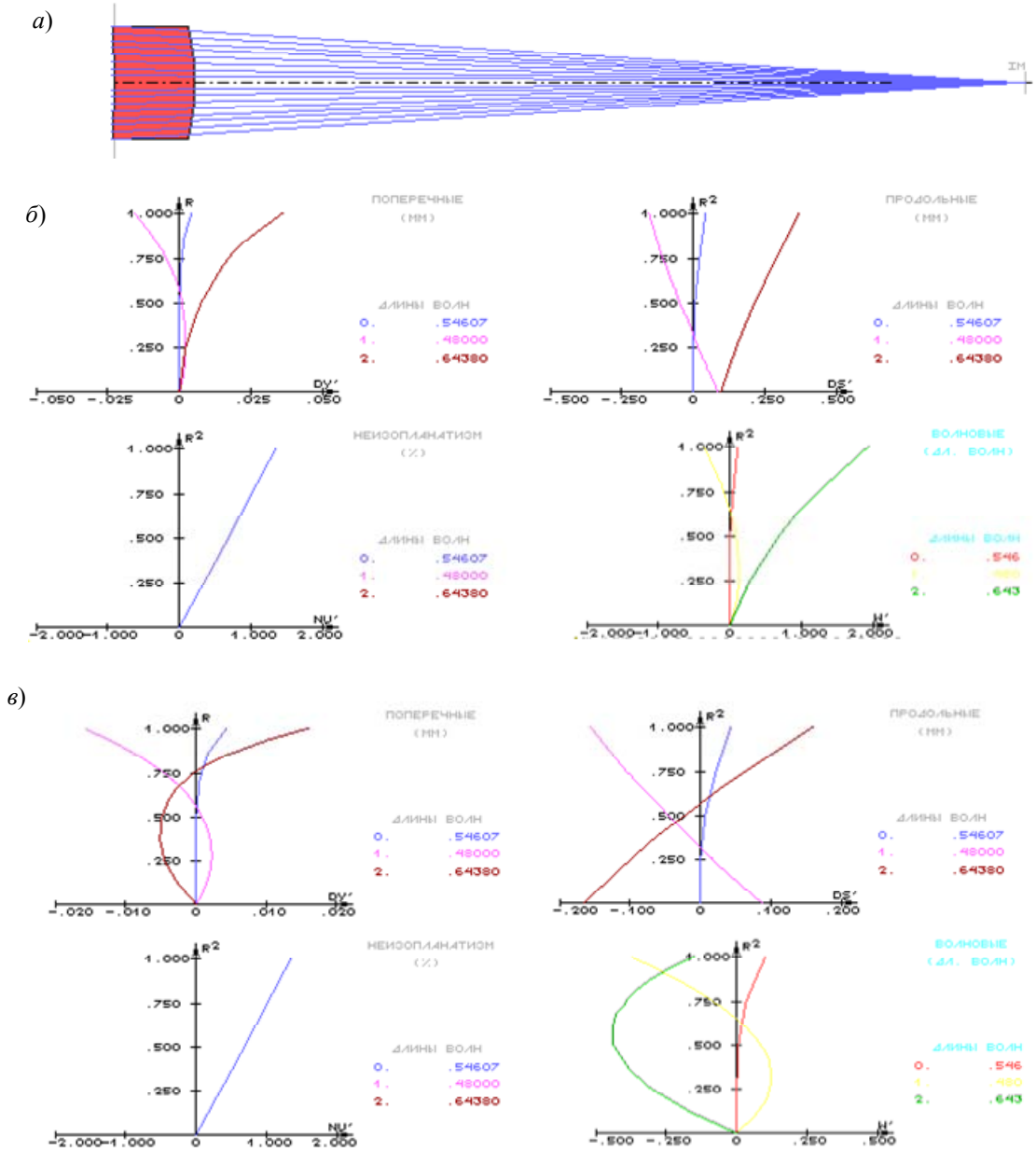


Рис. 1

Хроматизм положения дублета. Дублет обычно рассматривают как блок из двух линз, находящихся в соприкосновении [2]. При наличии градиента показателя преломления в первой линзе блока при положении предмета на конечном расстоянии $-a_1$ от передней главной плоскости первой линзы хроматическую aberrацию положения можно записать в виде:

$$ds'_k = -a'_2 \left(\frac{\Phi_{1\text{пов}}}{\nu_{1\text{пов}}} + \frac{\Phi_{2\text{пов}}}{\nu_{2\text{пов}}} + \frac{\Phi_2}{\nu_3} \right), \quad (23)$$

где $\Phi_{1\text{пов}}$, $\Phi_{2\text{пов}}$ — оптическая сила первой и второй поверхностей первой линзы, Φ_2 — оптическая сила второй линзы.

Для первой линзы имеем:

$$\Phi_{1\text{пов}} + \Phi_{2\text{пов}} = \Phi_1,$$

где

$$\Phi_{1\text{пов}} = \frac{n_0 - 1}{r_1}, \quad \Phi_{2\text{пов}} = \frac{1 - n_z}{r_2}. \quad (24)$$

Подстановка (24) в (23) дает в окончательном виде

$$ds'_k = -a'_2 \left(\frac{n_0 - 1}{v_{1\text{пов}} r_1} + \frac{1 - n_z}{v_{2\text{пов}} r_2} + \frac{\Phi_2}{v_3} \right), \quad (25)$$

при положении предмета на бесконечности $a'_2 = f'$:

$$ds'_k = -f' \left(\frac{n_0 - 1}{v_{1\text{пов}} r_1} - \frac{n_z - 1}{v_{2\text{пов}} r_2} + \frac{\Phi_2}{v_3} \right). \quad (26)$$

Из (26) получаем условие исправления хроматизма положения при наличии градиента в первой линзе блока:

$$\left(\frac{n_0 - 1}{v_{1\text{пов}} r_1} - \frac{n_z - 1}{v_{2\text{пов}} r_2} + \frac{\Phi_2}{v_3} \right) = 0. \quad (27)$$

При наличии градиента показателя преломления во второй линзе блока и нахождении предмета на конечном расстоянии $-a_1$ от передней главной плоскости первой линзы:

$$ds'_k = -a'_2 \left(\frac{\Phi_1}{v_1} + \frac{\Phi_{2\text{пов}}}{v_{2\text{пов}}} + \frac{\Phi_{3\text{пов}}}{v_{3\text{пов}}} \right). \quad (28)$$

Для второй линзы имеем:

$$\Phi_{2\text{пов}} + \Phi_{3\text{пов}} = \Phi_2,$$

где

$$\Phi_{2\text{пов}} = \frac{n_0 - 1}{r_2}, \quad \Phi_{3\text{пов}} = \frac{1 - n_z}{r_3}. \quad (29)$$

Подстановка (24) в (23) дает в окончательном виде

$$ds'_k = -a'_2 \left(\frac{n_0 - 1}{v_{1\text{пов}} r_1} + \frac{1 - n_z}{v_{2\text{пов}} r_2} + \frac{\Phi_2}{v_3} \right). \quad (30)$$

При положении предмета на бесконечности имеем $a'_2 = f'$:

$$ds'_k = -f' \left(\frac{n_0 - 1}{v_{1\text{пов}} r_1} - \frac{n_z - 1}{v_{2\text{пов}} r_2} + \frac{\Phi_2}{v_3} \right). \quad (31)$$

Из (26) получаем условие исправления хроматизма положения

$$\left(\frac{n_0 - 1}{v_{1\text{пов}} r_1} - \frac{n_z - 1}{v_{2\text{пов}} r_2} + \frac{\Phi_2}{v_3} \right) = 0. \quad (32)$$

В случае однородных линз получаем известную формулу:

$$(n - 1) \left(\frac{1}{r_1} - \frac{1}{r_2} \right) \frac{1}{v_1} + \frac{\Phi_2}{v_3} = 0.$$

Анализ (27) показывает, что в дублете из однородной и градиентной линз возможность исправления хроматизма существенно выше, чем в одиночной градиентной линзе за счет наличия в каталогах большого разнообразия стекол с различными n и v .

Конструктивные данные исходной однородной системы с $f' = 98,049$ мм, $S'_F = 94,728$ мм, $D_{\text{зр}} = 35,72$ мм, $f/2,8$ следующие: $r_1 = 100,0$, $r_2 = -100$; $d_1 = 7$, GLA PSK52, $n_{\lambda 0} = 1,603101$, $n_{\lambda 1} = 1,609503$, $n_{\lambda 2} = 1,600282$, $v_{00} = 65,408$; $r_2 = -100,0$, $r_3 = -128,5849$; $d_2 = 3$, GLA G32SFN, $n_{\lambda 0} = n_{\lambda 1} = n_{\lambda 2} = 1,766606$ [3]. На рис. 2 представлены ход лучей (а) и сферохроматические aberrации (б).

Спектральный диапазон: $\lambda_0 = 0,58756$, $\lambda_1 = 0,48613$, $\lambda_2 = 0,65627$ мкм.

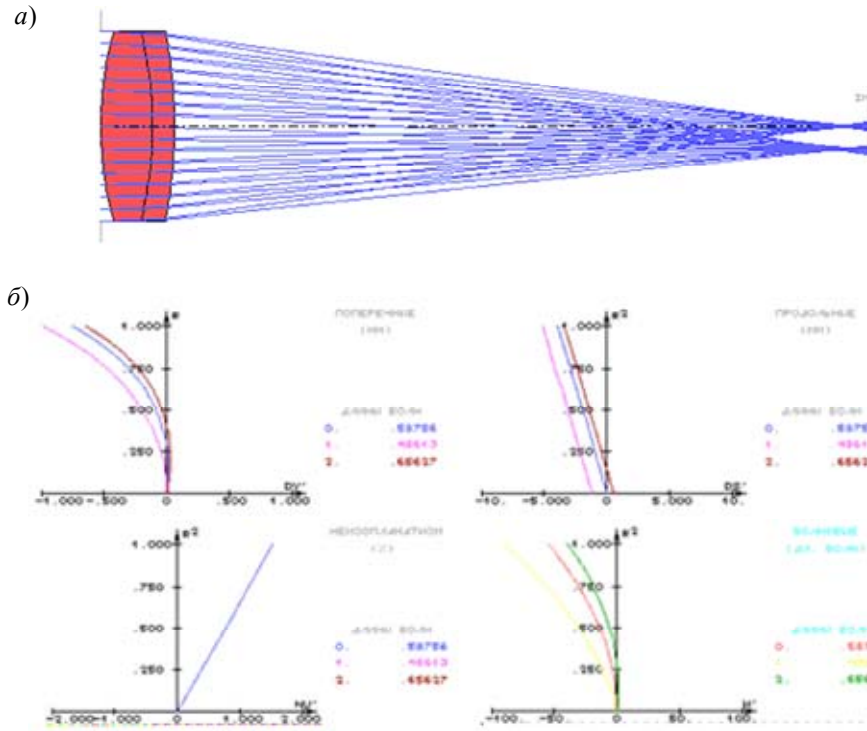


Рис. 2

Расчет величин поверхностных коэффициентов S_1 при нормировке $h_1=f'$ позволил получить результаты: $h_1=98,049$ мм; $S_{1.1}=21,689$; $S_{1.2}=-38,956$; $S_{1.3}=245,871$; $S_1=S_{1.1}+S_{1.2}+S_{1.3}=228,606$.

Сферическая aberrация третьего порядка на краю зрачка имеет значение: $\Delta s'_{\text{край}}=-3,792$ мм.

Реальная продольная сферохроматическая aberrация достигает -5 мм, волновая aberrация $W(\lambda) \approx -50\lambda$. Пучок осевых лучей имеет явно выраженную каустику.

Градиент показателя преломления поочередно вводился в области всех поверхностей. Здесь $R=m_{\text{кр}}/m$ — относительная высота луча на входном зрачке.

Вариант 1. Градиент ПП в регионе 1 поверхности первой линзы.

Параметры градиента ПП: $n_{01\lambda 0}=-0,0248$ мм $^{-1}$, $n_{01\lambda 1}=-0,034$ мм $^{-1}$, $n_{01\lambda 2}=-0,020$ мм $^{-1}$, $\nu_{01}=1,77$.

Исправлен сферохроматизм на высоте $0,75R^2$, $f'=98,053$ мм, $s_F=94,723$ мм.

Вариант 2. Градиент в регионе 2 поверхности первой линзы.

Параметры градиента ПП: $n_{01\lambda 0}=0,029$ мм $^{-1}$, $n_{01\lambda 1}=0,016$ мм $^{-1}$, $n_{01\lambda 2}=0,0358$ мм $^{-1}$, $\nu_{01}=-1,46$.

Исправлен сферохроматизм на высоте $0,5R^2$, $f'=93,927$ мм, $s_F=90,681$ мм.

Вариант 3. Градиент в регионе первой поверхности второй линзы.

Параметры градиента ПП: $n_{01\lambda 0}=-0,026$ мм $^{-1}$, $n_{01\lambda 1}=-0,034$ мм $^{-1}$, $n_{01\lambda 2}=-0,018$ мм $^{-1}$, $\nu_{01}=1,62$.

Исправлен сферохроматизм на высоте $0,75R^2$, $f'=98,052$ мм, $s_F=94,725$ мм.

Вариант 4. Градиент в регионе 2 поверхности второй линзы.

Параметры градиента ПП: $n_{01\lambda 0}=0,050$ мм $^{-1}$, $n_{01\lambda 1}=0,032$ мм $^{-1}$, $n_{01\lambda 2}=0,056$ мм $^{-1}$, $\nu_{01}=-2,08$.

Исправлен сферохроматизм на высоте $0,25R^2$, $f'=98,053$, $s_F=94,723$.

Графики aberrаций и ход осевого пучка варианта 2 приведены на рис. 3. Видно, что введение в область поверхности 2 первой линзы линейного градиента показателя преломления

позволило исправить сферическую абберацию на краю и сферохроматизм на середине входного зрачка при относительном отверстии $f/3$. Каустическая поверхность в осевом пучке отсутствует.

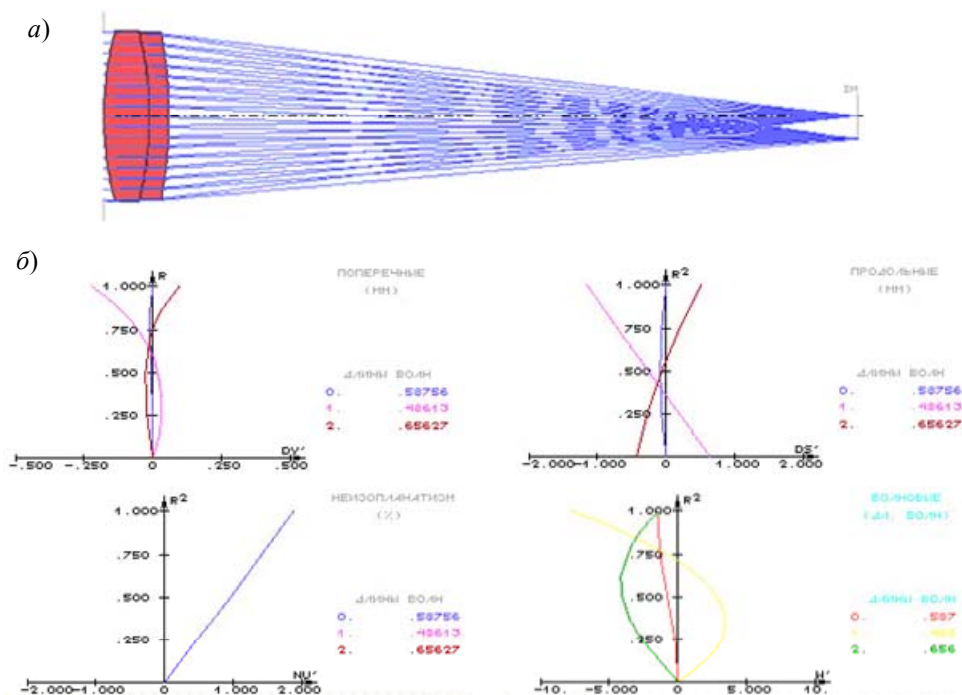


Рис. 3

Заключение. Рассмотрены пути повышения качества изображения за счет использования осевого неоднородного ПП в простейших линзовых конструкциях: одиночной линзе и дублете. Показано, что в одиночной линзе возможно исправить сферическую абберацию и хроматизм при аномальном ходе дисперсии градиента ПП (отрицательной величине градиентного числа Аббе). В схеме дублета исправление сферической абберации и сферохроматизма оказалось возможным за счет введения градиента показателя в регионы первой и второй поверхностей обеих линз. При этом градиентные числа Аббе ν_{01} положительные на первых поверхностях и отрицательные на вторых поверхностях обеих линз блока.

СПИСОК ЛИТЕРАТУРЫ

1. Сушков А. Л. Монохроматические абберации градиентов как базовых элементов жестких эндоскопов. М.: Изд-во МГТУ им. Н. Э. Баумана, 2008. 44 с.
2. Апенко М. И., Дубовик А. С. Прикладная оптика. М.: Наука, 1971. 392 с.
3. Инструкция по эксплуатации программы "Optics Software for Layout and Optimization (OSLO)". Корпорация Lambda Research Corporation, 2005.

Сведения об авторе

Александр Леонидович Сушков

— канд. техн. наук, доцент; МГТУ им. Н. Э. Баумана; кафедра оптико-электронных приборов научных исследований;
E-mail: ale-sushkov@yandex.ru

Рекомендована кафедрой
оптико-электронных приборов
научных исследований

Поступила в редакцию
28.10.10 г.